<u>2-5</u> 一軸配向FRPの粘弾性的性質

京都大学工学部 高分子化学教室 川端季雄 〇相模博生 宝関義隆

1. 目的

我々は一軸配向FRPの弾性定数の複合則を明らかにしてきたが、粘弾性的性質に関する複合則について、川端はFRPの弾性的性質での複合則における弾性定数を動的弾性定数に置き授えることにより、そのまま粘弾性的性質での複合則に適用できうることを示している。しかし弾性的性質における複合則として簡易式を用いているため、誤差があり厳密な実験値との比較ができなかった。従って、明らかになった弾性的性質での複合則を用いて粘弾性的性質の複合則に拡張する上記す法の精度を検討するための実験を行った。2 理論

だカの とひずみ Eij は弾性的には次式のような線型関係で表わされる。

 $G_{ij} = E_{ijkl} \, \epsilon_{kl} \, (i,j,k,l=1,2,3)$ (1)

一方、粘弾性的にも同様に応力のう とひずみ Eij に次のような線型関係を仮定する。

 $G_{ij}^* = E_{ijkl}^* \mathcal{E}_{kl}^*$ (i,j,k,l-1,2,3) (2)

ここでEineの各要素は複素表示され物質の粘弾性的性質を示す。一軸配向FRPの弾性定数のうち、その複合則の推定の困難な纖維に直角方向の弾性率日について検討すると、例えば単純直列モデルによる複合則(3)式を仮定したとき粘弾性的性質(4)式が得られる。

$$E_{S1} = \frac{E_p E_f}{\nabla_f E_p + \nabla_p E_f}$$
 (3)
$$E_{S1}^* = \frac{E_p^* E_f^*}{\nabla_f E_b^* + \nabla_p E_f^*}$$
 (4)

ここで日,日は樹脂,繊維の弾性率、下,及は各々の体積分率(但し下+牙=1)である。しかし、(3)式の精度が悪いために、われわれは有限要素法による解析から(3)式の修正係数C1すなわち日=C1日s1としてC1を次式のように誘導した。

$$C_{1} = \frac{E_{1}}{E_{5}} = 1 + \frac{E_{5}}{E_{4}} + (0.74 + 0.254 \frac{E_{5}}{E_{5}})V_{5} - 8.51 \frac{E_{5}}{E_{4}}V_{5}^{2} + exp\left[12.38[\nu_{5} - 0.59 + (0.226 - 1.44 \frac{E_{5}}{E_{5}})V_{5}]\right]$$
(5)

ここでゆは樹脂のポアソン比である。そして(3)式から(4)式を仮定しているのと同様に(5)式において口,口, いを各々複素表示した(6)式が得られる。

$$C_1^* = \stackrel{*}{\sqsubseteq_{11}^*} = 1 + \stackrel{*}{\sqsubseteq_{11}^*} + (0.74 + 0.254 \stackrel{*}{\sqsubseteq_{11}^*}) \nabla_1 - 8.51 \stackrel{*}{\sqsubseteq_{11}^*} \nabla_1^2 + exp[12.38 [\sqrt[4]{-0.59} + (0.226 - 1.44 \stackrel{*}{\sqsubseteq_{11}^*}) \nabla_1^2]$$
 (6)

ところで一軸配向FRPの粘弾性測定の温度範囲内においては、ガラス繊維の動的性質における虚数部はほとんど無視でき、また樹脂のボアソン比についてもその虚数部は60式の計算上ほとんど寄与をせず、そして完全ではないが実験的に虚数部が小さかったために無視すると、FRPを構成する二成分の粘弾性特性は次のようになる。

$$C_{1} = \frac{\Box_{1}}{\Box_{51}} = 1 + \frac{\Box_{1}}{\Box_{1}} + (0.74 + 0.254 \frac{\Box_{1}}{\Box_{1}}) \nabla_{1} - 8.51 \frac{\Box_{1}'}{\Box_{1}} \nabla_{1}^{2} + exp \left[12.38 \left\{ \lambda_{p} - 0.59 + (0.226 - 1.44 \frac{\Box_{1}'}{\Box_{1}}) \nabla_{1} \right\} \cos \left(17.83 \frac{\Box_{1}''}{\Box_{1}} \nabla_{1}^{2} \right) + \left[\frac{\Box_{1}''}{\Box_{1}''} + 0.254 \frac{\Box_{1}''}{\Box_{1}''} \nabla_{1}^{2} - exp \left[12.38 \left\{ \lambda_{p} - 0.59 + (0.226 - 1.44 \frac{\Box_{1}'}{\Box_{1}}) \nabla_{1} \right] \sin \left(17.83 \frac{\Box_{1}''}{\Box_{1}} \nabla_{1} \right) \right]$$
(8)

すなわち、FRPの粘弾性的性質はそれを構成している樹脂の粘弾性的性質のみの影響を (8)式によって受けることになる。

3、実験

実験に用いた一軸配向FRPの繊維と樹脂の種類、 弾性定数の実験値、およびその測定方法を次に示す。

繊維(ガラス繊維)

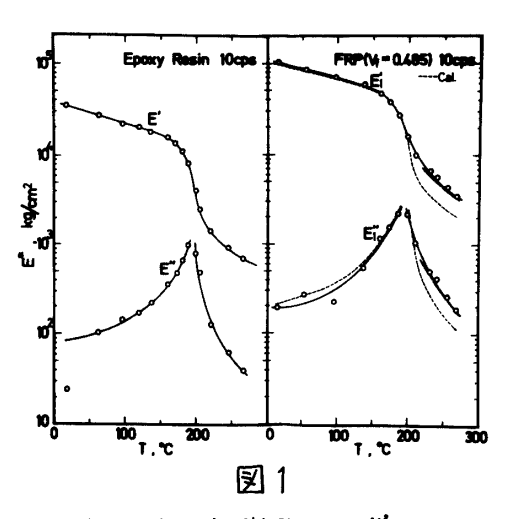
□ 万4.6×10⁴ kg/cm² 引張り試験 樹脂(エポキシ樹脂,エピコート828)

硬化剤 BF3-モノエチルアミン錯体 3phr

硬化条件 120℃, 3hr アフタキュア 180℃, 1hr

石p;長さ40mm 中5mm 厚み1mmの板の強制振動法

以; 0.377 ひずみゲージによる実測(但しZZ℃) FRP

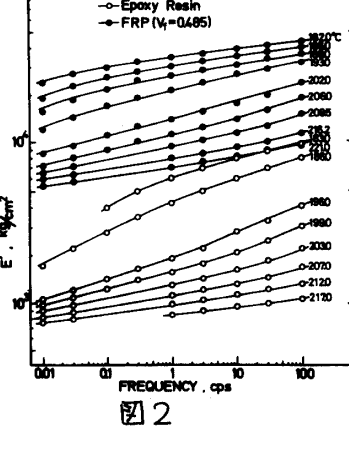


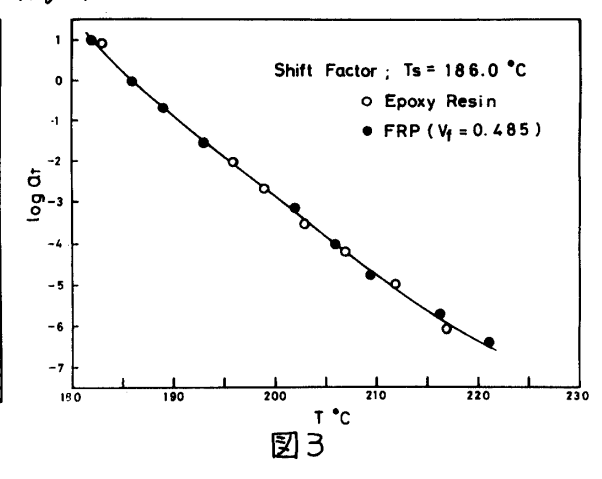
上記纖維と樹脂を上記樹脂と同条件で硬化させ、日の測定方法は上記樹脂と同様

図1に10cpsでのエポキシ樹脂の複素弾性率と繊維に直角す向の複素弾性率の温度特性を示す。破線は樹脂のポアソン比を22℃における実験値以=0.37として(8)式より計算し、ゴム状領域における1点鎖線は樹脂がゴム状になったときのポアソン比としてル=0.5を用いて計算したものである。図2はガラス転移温度付近のBとEの周波数特性である。これらから各々の時間-温度授算則を点検するため、Shift factor を求めたのが図3である。

4、考察

図1 は8)式の会当には8)式の会当にでいる。 型1 ないる。 を対している。 をがしている。 をがしる。





文献

- 1)川端,相模,宝関,小川,第1回複合材料シンポジウム講演要旨集 p16 (1975)
- 2) S. Kawabata, Proc. Southampton Conference "Structure Solid Mechanics and Engineering Design" Wiley-Interscience, Part 1 p833 (1971)